

PENTODE for use as frame and sound output tube  
 PENTHODE pour utilisation comme tube de sortie de déviation  
 verticale et de son

PENTODE zur Verwendung als Endröhre für die vertikale Ab-  
 lenkung und für die Schallwiedergabe

Heating : indirect by A.C. or D.C.  
 parallel supply

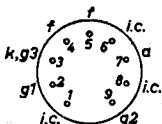
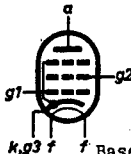
Chauffage: indirect par C.A. ou C.C.  
 alimentation parallèle

Heizung : indirekt durch Wechsel-  
 oder Gleichstrom; Paral-  
 lelspeisung

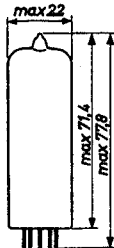
$V_f = 6,3 \text{ V}$

$I_f = 800 \text{ mA}$

Dimensions in mm  
 Dimensions en mm  
 Abmessungen in mm



Base, culot, Sockel: NOVAL



Capacitances  
 Capacités  
 Kapazitäten

$C_a$	=	5,9 pF
$C_{g_1}$	=	11 pF
$C_{ag_1}$	<	1 pF
$C_{g_2, f}$	<	0,15 pF

Optimum peak anode current in frame output application  
 To allow for tube spread and for deterioration during life  
 in frame output application the circuit should be designed  
 around a peak anode current not exceeding

90 mA at  $V_a = 50 \text{ V}$ ,  $V_{g_2} = 170 \text{ V}$   
 120 mA at  $V_a = 60 \text{ V}$ ,  $V_{g_2} = 200 \text{ V}$

Courant anodique de crête optimum en application comme tube  
 de sortie pour la déviation verticale

Pour tenir compte des tolérances du tube et de la dégrada-  
 tion en service, le circuit devra être conçu pour un  
 courant anodique de crête ne dépassant pas une valeur de

90 mA à  $V_a = 50 \text{ V}$ ,  $V_{g_2} = 170 \text{ V}$   
 120 mA à  $V_a = 60 \text{ V}$ ,  $V_{g_2} = 200 \text{ V}$

PENTODE for use as frame and sound output tube  
PENTHODE pour utilisation comme tube de sortie de déviation  
verticale et de son

PENTODE zur Verwendung als Endröhre für die vertikale Ablenkung und für die Schallwiedergabe

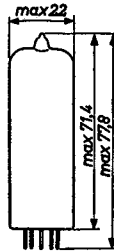
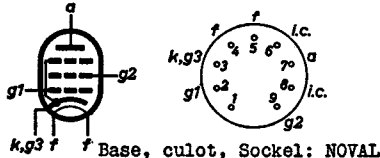
Heating : indirect by A.C. or D.C.  
parallel supply

Chauffage: indirect par C.A. ou C.C.  
alimentation parallèle

Heizung : indirekt durch Wechsel- oder Gleichstrom; Parallelspeisung

$$I_f = 800 \text{ mA}$$

Dimensions in mm  
Dimensions en mm  
Abmessungen in mm



## Capacitances Capacités Kapazitäten

$$\begin{aligned}C_a &= 5,9 \text{ pF} \\C_{g_1} &= 11 \text{ pF} \\C_{ag_1} &< 1 \text{ pF} \\C_{g_1 f} &< 0,15 \text{ pF}\end{aligned}$$

Optimum peak anode current in frame output application  
To allow for tube spread and for deterioration during life  
in frame output application the circuit should be designed  
around a peak anode current not exceeding

$$90 \text{ mA at } V_a = 50 \text{ V}, \quad V_{g2} = 170 \text{ V}$$

Courant anodique de crête optimum en application comme tube de sortie pour la déviation verticale

Pour tenir compte des tolérances du tube et de la dégradation en service, le circuit devra être conçu pour un courant anodique de crête ne dépassant pas une valeur de

$$90 \text{ mA à } V_A = 50 \text{ V, } V_{G2} = 170 \text{ V}$$

$$120 \text{ mA à } V_a = 60 \text{ V}, V_{gs2} = 200 \text{ V}$$

PENTODE for use as frame and sound output tube  
 PENTHODE pour utilisation comme tube de sortie de déviation  
 verticale et de son

PENTODE zur Verwendung als Endröhre für die vertikale Ab-  
 lenkung und für die Schallwiedergabe

Heating : indirect by A.C. or D.C.  
 parallel supply

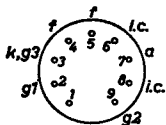
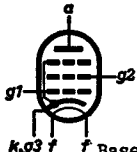
Chauffage: indirect par C.A. ou C.C.  
 alimentation parallèle

Heizung : indirekt durch Wechsel-  
 oder Gleichstrom; Paral-  
 lelspeisung

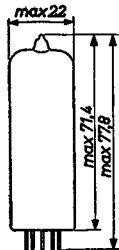
$V_f = 6,3$  V

$I_f = 800$  mA

Dimensions in mm  
 Dimensions en mm  
 Abmessungen in mm



Base, culot, Sockel: NOVAL



Capacitances

$C_a = 5,9$  pF

Capacités

$C_{g_1} = 11$  pF

Kapazitäten

$C_{ag_1} < 1$  pF

$C_{g_1 f} < 0,15$  pF

Optimum peak anode current in frame output application  
 To allow for tube spread and for deterioration during life  
 in frame output application the circuit should be designed  
 around a peak anode current not exceeding

90 mA at  $V_a = 50$  V,  $V_{g_2} = 170$  V

120 mA at  $V_a = 60$  V,  $V_{g_2} = 200$  V

Courant anodique de crête optimum en application comme tube de sortie pour la déviation verticale

Pour tenir compte des tolérances du tube et de la dégrada-  
 tion en service, le circuit devra être conçu pour un  
 courant anodique de crête ne dépassant pas une valeur de

90 mA à  $V_a = 50$  V,  $V_{g_2} = 170$  V

120 mA à  $V_a = 60$  V,  $V_{g_2} = 200$  V

Höchstwert des Anodenspitzenstromes beim Gebrauch als Endröhre für die vertikale Ablenkung

Um den Röhrentoleranzen und der Verschlechterung während der Lebensdauer Rechnung zu tragen, soll die Schaltung entworfen werden für einen Höchstwert des Anodenspitzenstromes von

$$\begin{aligned} 90 \text{ mA bei } V_a &= 50 \text{ V, } V_{g2} = 170 \text{ V} \\ 120 \text{ mA bei } V_a &= 60 \text{ V, } V_{g2} = 200 \text{ V} \end{aligned}$$

Operating characteristics as sound output tube, class A

Caractéristiques d'utilisation comme tube de sortie de son, classe A

Betriebsdaten als Endröhre für Schallwiedergabe, Klasse A

$V_a = V_b$	=	170	200 V
$V_{g2}$	=	170	- V
$R_{g2}$	=	-	680 Ω
$V_g$	=	-10,4	-13,9 V
$I_a$	=	53	45 mA
$I_{g2}$	=	10	8,5 mA
S	=	9	7,6 mA/V
$R_1$	=	20	24 kΩ
$\mu_{g2} g_1$	=	10	10
$R_a$	=	3	4 kΩ
$W_o$ ( $d = 10\%$ )	=	4,0	4,2 W
$V_i$ ( $d = 10\%$ )	=	6	7 Veff
$V_i$ ( $W_o = 50 \text{ mW}$ )	=	0,5	0,55 Veff

Höchstwert des Anodenspitzenstromes beim Gebrauch als Endröhre für die vertikale Ablenkung

Um den Röhrentoleranzen und der Verschlechterung während der Lebensdauer Rechnung zu tragen, soll die Schaltung entworfen werden für einen Höchstwert des Anodenspitzenstromes von

$$\begin{aligned} 90 \text{ mA bei } V_a &= 50 \text{ V, } V_{g_2} = 170 \text{ V} \\ 120 \text{ mA bei } V_a &= 60 \text{ V, } V_{g_2} = 200 \text{ V} \end{aligned}$$

Operating characteristics as sound output tube, class A  
 Caractéristiques d'utilisation comme tube de sortie de son, classe A  
 Betriebsdaten als Endröhre für Schallwiedergabe, Klasse A

$V_a = V_b$	=	170	200 V
$V_{g_2}$	=	170	- V
$R_{g_2}$	=	-	680 Ω
$V_{g_1}$	=	-10,4	-13,9 V
$I_a$	=	53	45 mA
$I_{g_2}$	=	10	8,5 mA
S	=	9	7,6 mA/V
$R_1$	=	20	24 kΩ
$\mu_{g_2 g_1}$	=	10	10
$R_a$	=	3	4 kΩ
$W_o (d = 10\%)$	=	4,0	4,2 W
$V_1 (d = 10\%)$	=	6	7 V <sub>eff</sub>
$V_1 (W_o = 50 \text{ mW})$	=	0,5	0,55 V <sub>eff</sub>

Höchstwert des Anodenspitzenstromes beim Gebrauch als Endröhre für die vertikale Ablenkung

Um den Röhrentoleranzen und der Verschlechterung während der Lebensdauer Rechnung zu tragen, soll die Schaltung entworfen werden für einen Höchstwert des Anodenspitzenstromes von

$$90 \text{ mA bei } V_a = 50 \text{ V}, V_{g2} = 170 \text{ V}$$

$$120 \text{ mA bei } V_a = 60 \text{ V}, V_{g2} = 200 \text{ V}$$

Operating characteristics as sound output tube, class A  
Caractéristiques d'utilisation comme tube de sortie de son, classe A

Betriebsdaten als Endröhre für Schallwiedergabe, Klasse A

$V_a = V_b$	=	170	200 V
$V_{g2}$	=	170	- V
$R_{g2}$	=	-	680 $\Omega$
$V_{g1}$	=	-10,4	-13,9 V
$I_a$	=	53	45 mA
$I_{g2}$	=	10	8,5 mA
S	=	10,2	8,6 mA/V
$R_1$	=	20	24 k $\Omega$
$\mu_{g^2 g^1}$	=	10	10
$R_a$	=	3	4 k $\Omega$
$W_o$ ( $d = 10\%$ )	=	4,0	4,2 W
$V_1$ ( $d = 10\%$ )	=	6	7 V <sub>eff</sub>
$V_1$ ( $W_o = 50 \text{ mW}$ )	=	0,5	0,55 V <sub>eff</sub>



Operating characteristics as sound output tube, class A  
push-pull (two tubes)

Caractéristiques d'utilisation comme tube de sortie de son,  
classe A push-pull (deux tubes)

Betriebsdaten als Endröhre für Schallwiedergabe, Klasse A  
Gegentakt (zwei Röhren)

$V_a$	=	170	200	V
$V_{g2}$	=	170	200	V
$R_k$	=	100	135	$\Omega$
$R_{aa}$	=	4	4	k $\Omega$
$V_i$	=	0 2x9,3	0 2x13,5	$V_{eff}$
$I_a$	=	2x46	2x50	2x52 mA
$I_{g2}$	=	2x8,7	2x17	2x19 mA
$W_o$	=	0 9	0	12 W
$d_{tot}$	=	- 5	-	5 %

Limiting values

Caractéristiques limites

Grenzdaten

$V_{a0}$ = max. 550 V	$W_{g2p}$ = max. 4 W
$V_{ap}$ = max. 2500 V <sup>1)</sup>	$I_k$ = max. 75 mA
$-V_{ap}$ = max. 500 V	$V_{g1}$ ( $I_{g1} = +0,3 \mu A$ ) = max. -1,3 V
$V_a$ = max. 250 V <sup>4)</sup>	$R_{g1}$ = max. 1 M $\Omega$ <sup>2)</sup>
$W_a$ = max. 9 W	$R_{g1}$ = max. 0,4 M $\Omega$ <sup>3)</sup>
$V_{g20}$ = max. 550 V	$R_{kf}$ = max. 20 k $\Omega$
$V_{g2}$ = max. 250 V	$V_{kf}$ = max. 100 V
$W_{g2}$ = max. 2,5 W	

<sup>1)</sup>Max. pulse duration 10% of a cycle, with a maximum of 2 msec

Durée de l'impulsion max. 10% d'un cycle, avec un maximum de 2 msec

Impulszeit max. 10% einer Periode, mit einem Maximum von 2 mSek

<sup>2)</sup>With automatic grid bias

Avec polarisation négative fixe

Mit automatischer negativer Gittervorspannung

<sup>3)</sup>With fixed grid bias

Avec polarisation négative fixe

Mit fester negativer Gittervorspannung

<sup>4)</sup>When used as frame output tube with  $W_a \leq 4,5$  W,  $V_a$  = max. 450 V

En utilisation comme tube de sortie de déviation verticale avec  $W_a \leq 4,5$  W,  $V_a$  = 450 V au max.

Beim Gebrauch als Endröhre für die vertikale Ablenkung mit  $W_a \leq 4,5$  W, ist  $V_a$  = max. 450 V

Operating characteristics as sound output tube, class A  
push-pull (two tubes)

Caractéristiques d'utilisation comme tube de sortie de son,  
classe A push-pull (deux tubes)

Betriebsdaten als Endröhre für Schallwiedergabe, Klasse A  
Gegentakt (zwei Röhren)

$V_a$	=	170	200	V
$V_{g2}$	=	170	200	V
$R_k$	=	100	135	$\Omega$
$R_{aa}$	=	4	4	k $\Omega$
$V_i$	=	0      2x9,3	0      2x13,5	$V_{eff}$
$I_a$	=	2x46	2x50	2x52 mA
$I_{g2}$	=	2x8,7	2x17	2x19 mA
$W_o$	=	0	9	0
$d_{tot}$	=	-	5	12 W
				5 %

#### Limiting values

#### Caractéristiques limites

#### Grenzdaten

$V_{a0}$ = max. 550 V	$W_{g2\ p}$	= max. 4 W
$V_{ap}$ = max. 2500 V <sup>1)</sup>	$I_k$	= max. 75 mA
$-V_{ap}$ = max. 500 V	$V_{g1}$ ( $I_{g1} = +0,3 \mu A$ )	= max. -1,3 V
$V_a$ = max. 250 V <sup>4)</sup>	$R_{g1}$	= max. 1 M $\Omega$ <sup>2)</sup>
$W_a$ = max. 9 W	$R_{g1}$	= max. 0,4 M $\Omega$ <sup>3)</sup>
$V_{g2\ 0}$ = max. 550 V	$R_{kf}$	= max. 20 k $\Omega$
$V_{g2}$ = max. 250 V	$V_{kf}$	= max. 100 V
$W_{g2}$ = max. 2,5 W		

<sup>1)</sup>Max. pulse duration 10% of a cycle, with a maximum of 2 msec

Durée de l'impulsion max. 10% d'un cycle, avec un maximum de 2 msec

Impulszeit max. 10% einer Periode, mit einem Maximum von 2 mSek

<sup>2)</sup>With automatic grid bias

Avec polarisation négative automatique

Mit automatischer negativer Gittervorspannung

<sup>3)</sup>With fixed grid bias

Avec polarisation négative fixe

Mit fester negativer Gittervorspannung

<sup>4)</sup>When used as frame output tube with  $W_a \leq 4,5$  W,  $V_a$  = max. 450 V

En utilisation comme tube de sortie de déviation verticale avec  $W_a \leq 4,5$  W,  $V_a$  = 450 V au max.

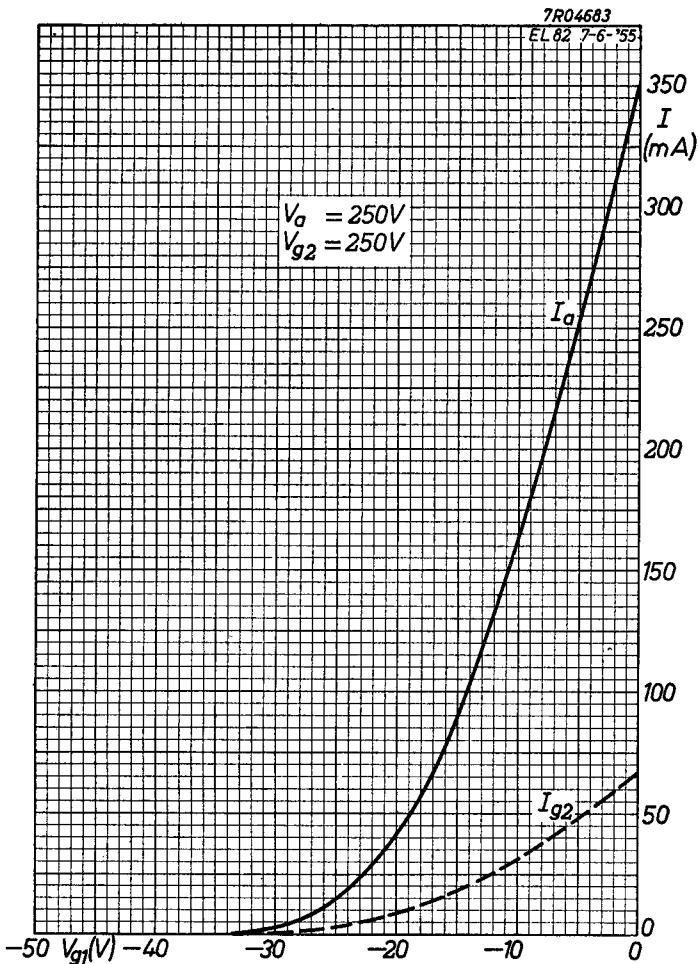
Beim Gebrauch als Endröhre für die vertikale Ablenkung mit  $W_a \leq 4,5$  W ist  $V_a$  = max. 450 V

# PHILIPS

# EL 82

7R04683

EL 82 7-6-'55



**EL 82**

**PHILIPS**

7R03032  
PL 82 13-1-'51

250

$I$   
(mA)

200

150

100

50

0

—  $I_a$   
- - -  $I_{g2}$

$V_b = V_{g2} = 200V$   
 $170V$

$V_a = V_{g2} = 200V$   
 $170V$

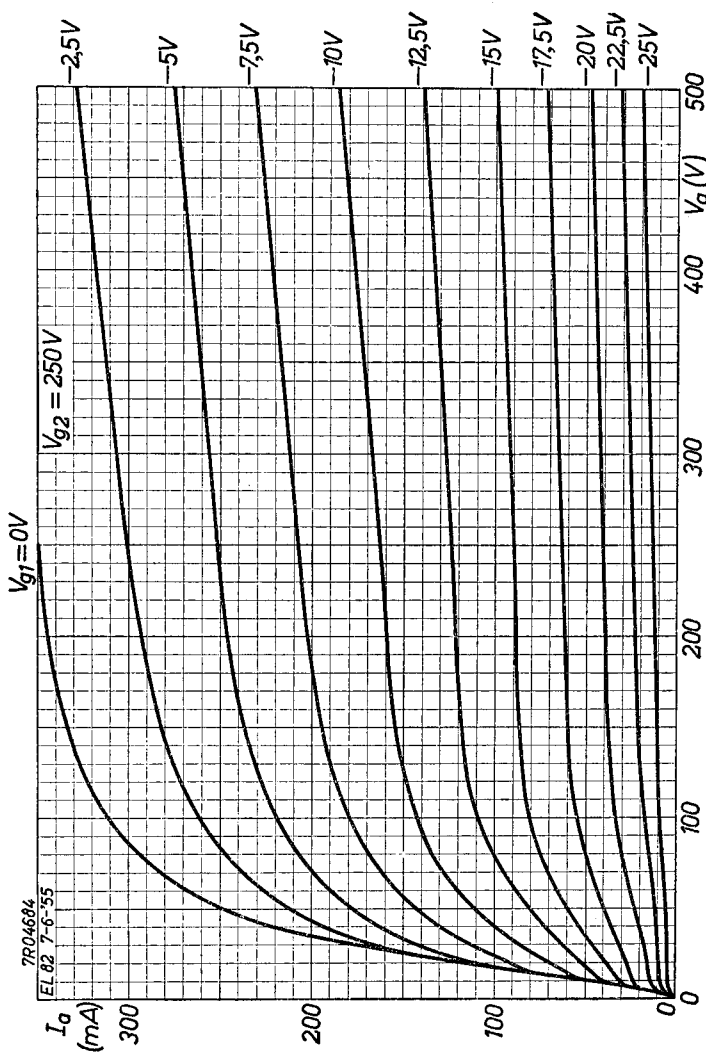
$V_{g1}(V) - 30$

-20

-10

B

# PHILIPS

**EL 82**

7R04684

EL 82 7-6-55

 $I_a$   
(mA)

300

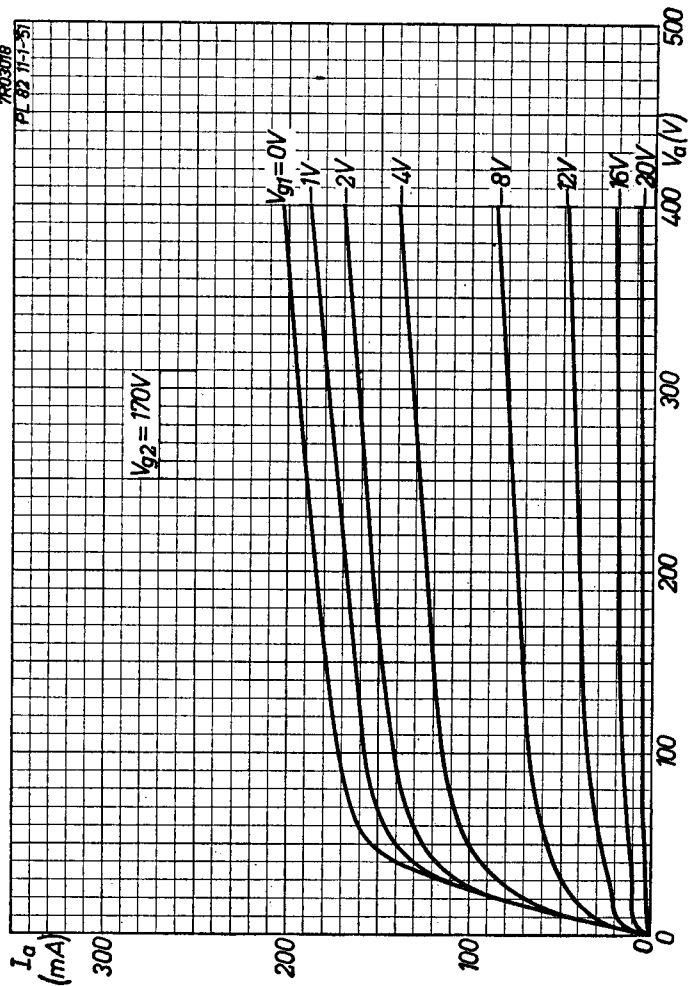
10.10.1957

C

**EL 82**

**PHILIPS**

7903018  
PL 82 11-35

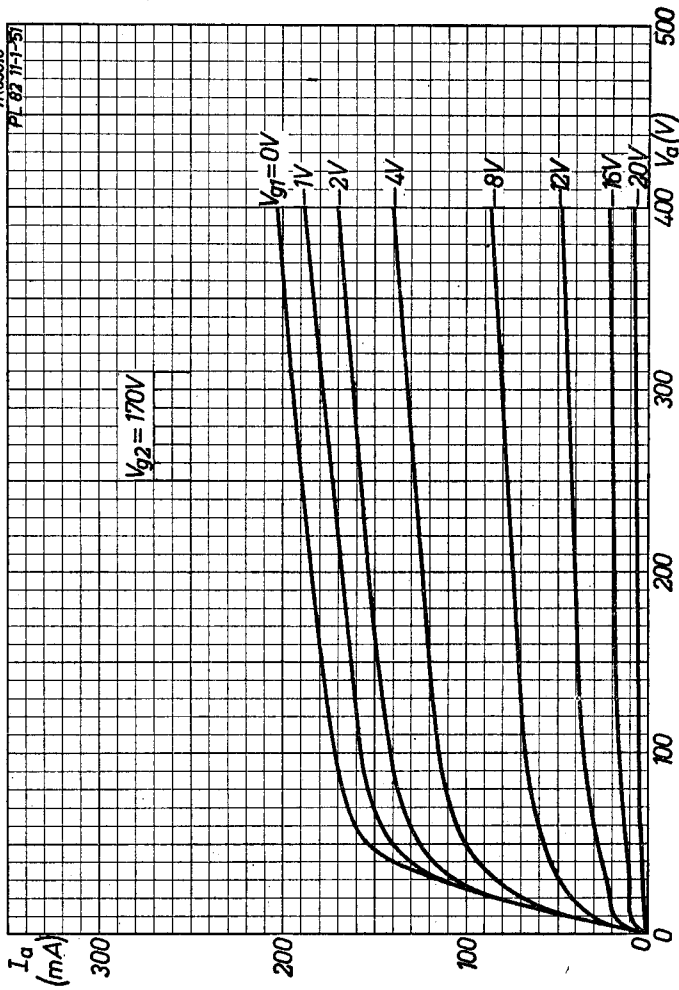


D

# PHILIPS

## EL 82

77020018  
PJ 82 11-1-57



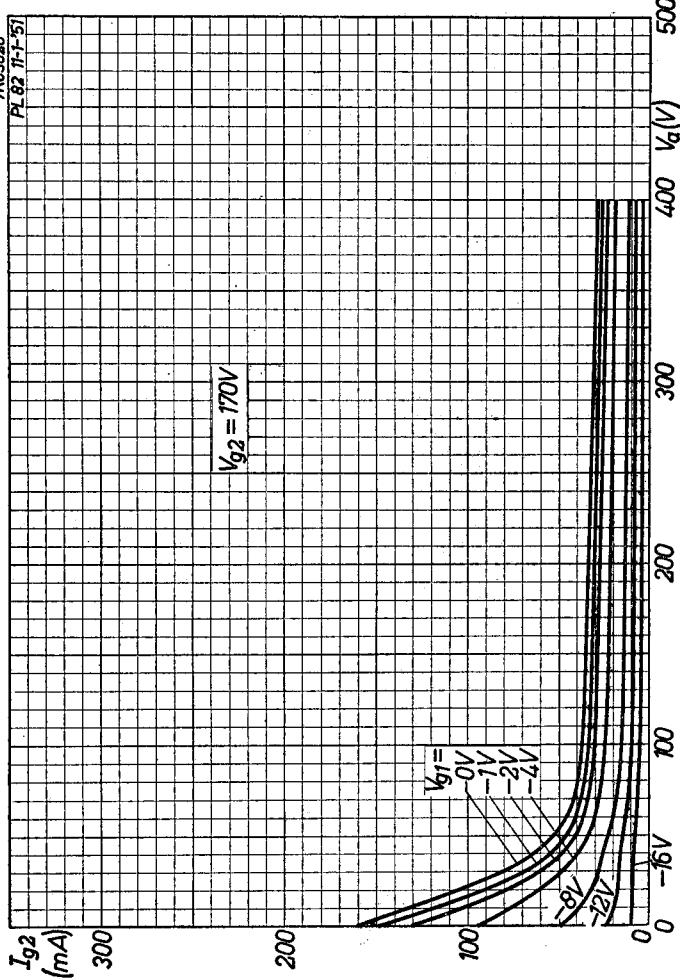
7.7.1955

E

# PHILIPS

## EL 82

7803020  
PL 82 7-1-57



10.10.1957

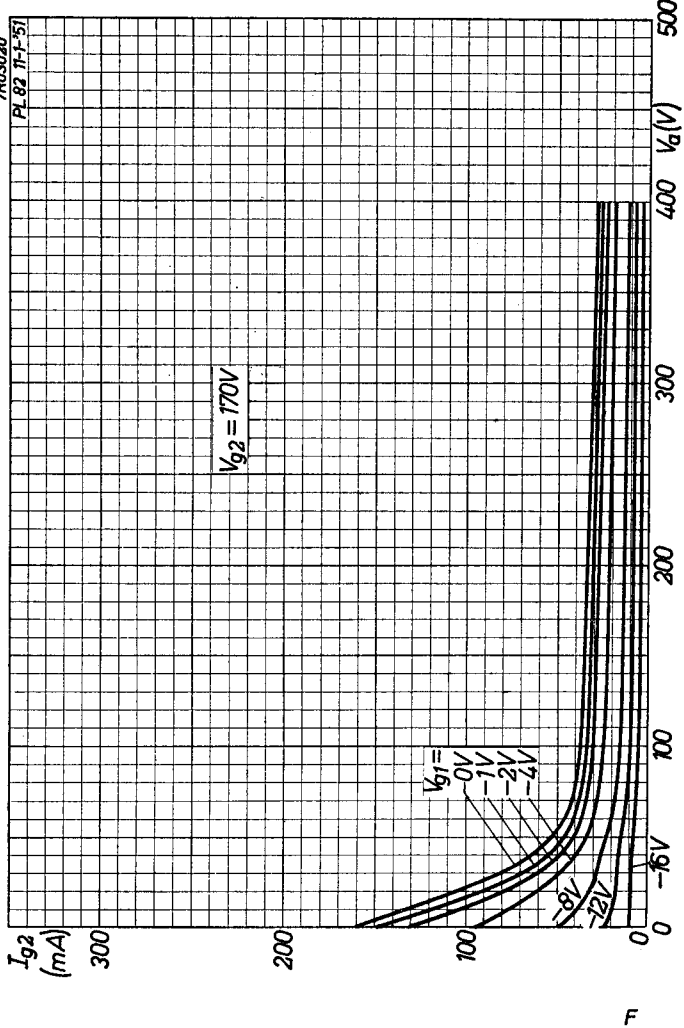
E

**EL 82**

**PHILIPS**

7703020

PL 82 II-1-57

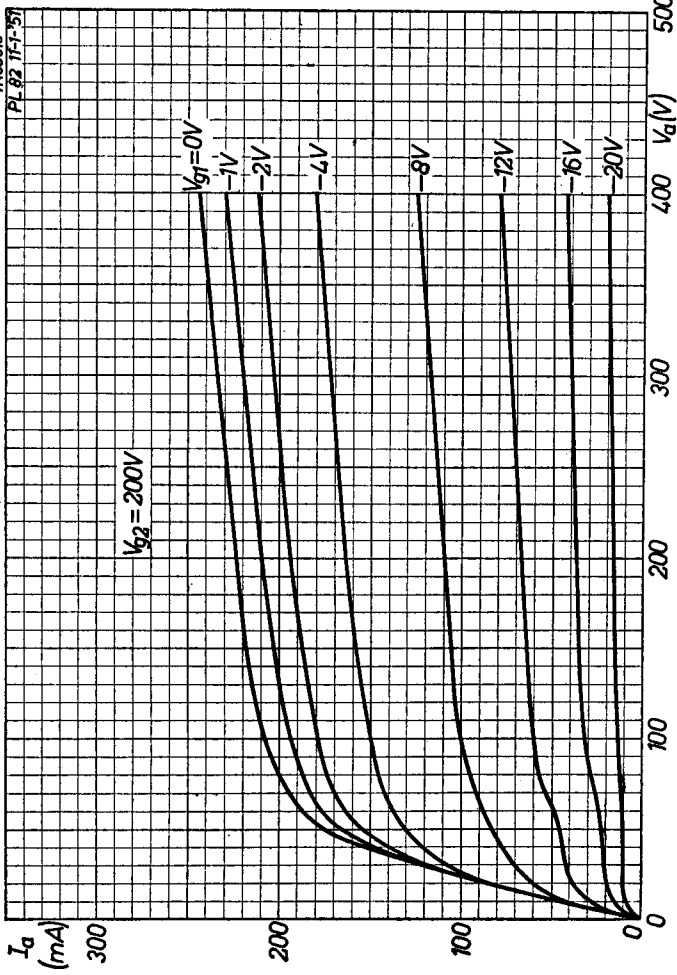


**EL 82**

**PHILIPS**

770309

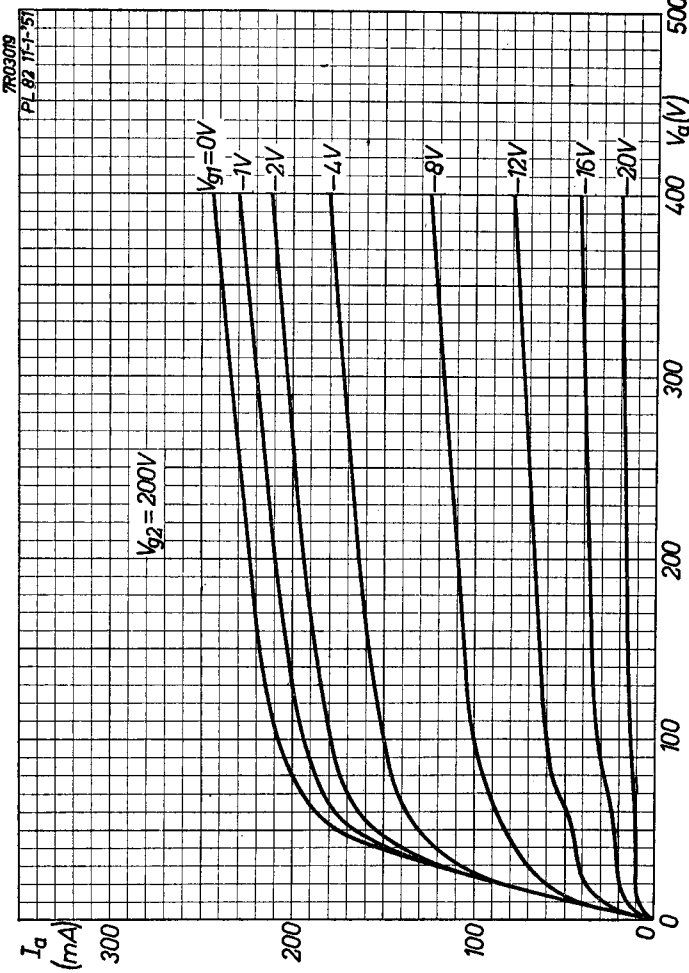
PL 82 11-1-35



F

# PHILIPS

# EL 82



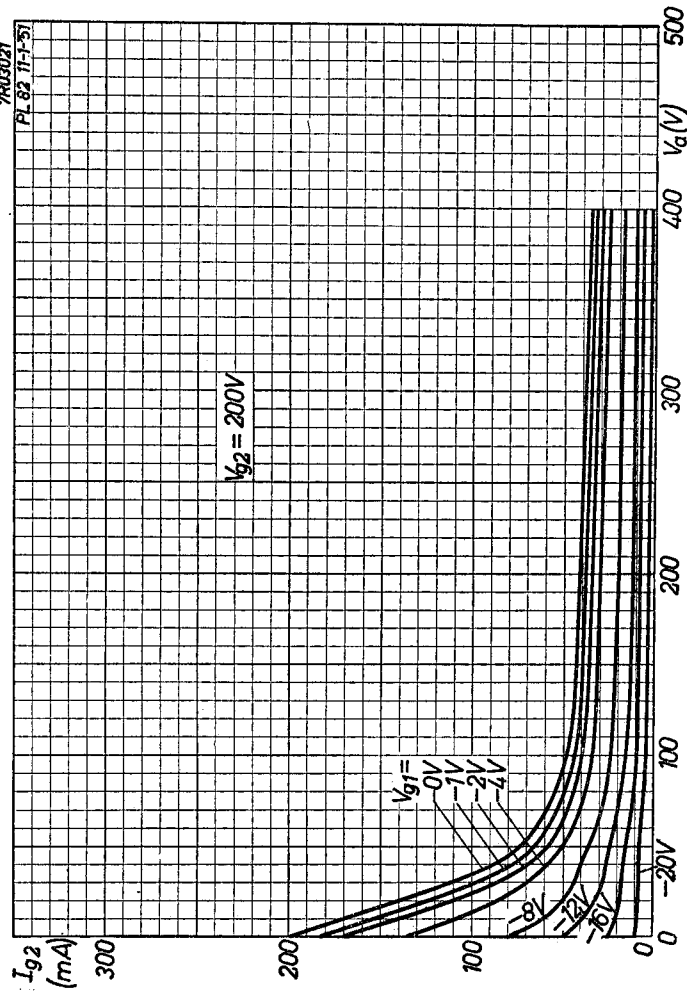
7.7.1955

6

# PHILIPS

# EL 82

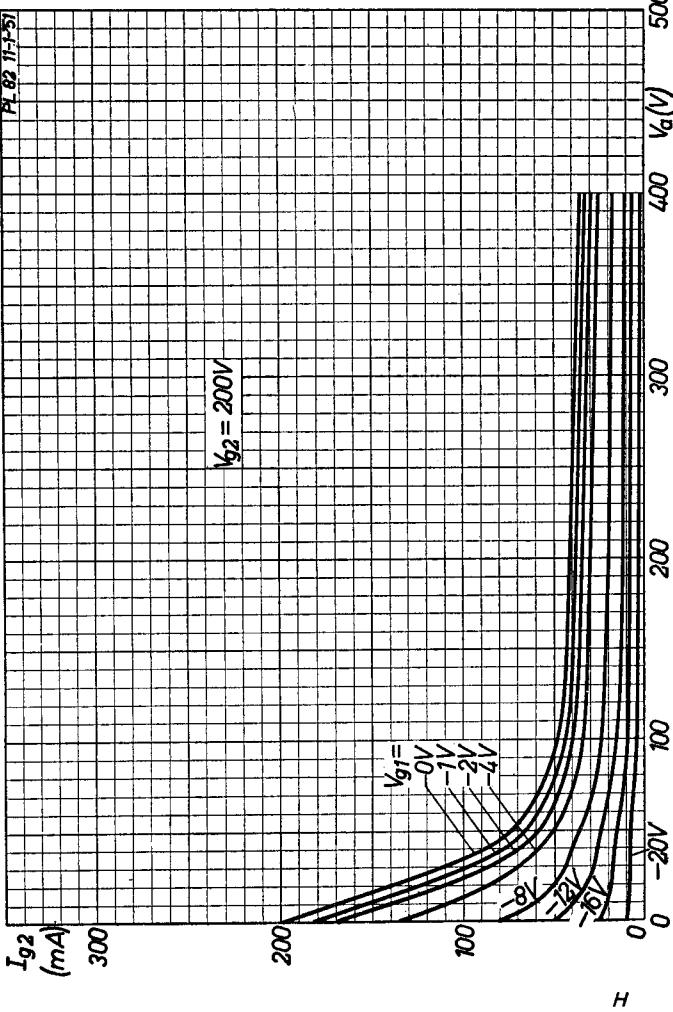
7R03021  
PL 82 11-7-57



**EL 82**

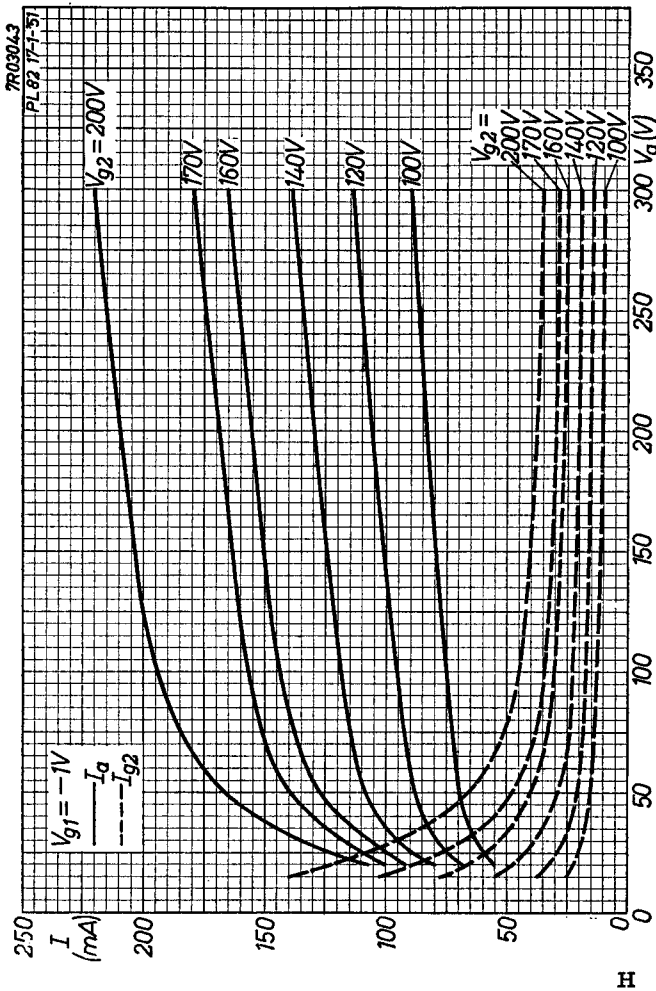
**PHILIPS**

7703021



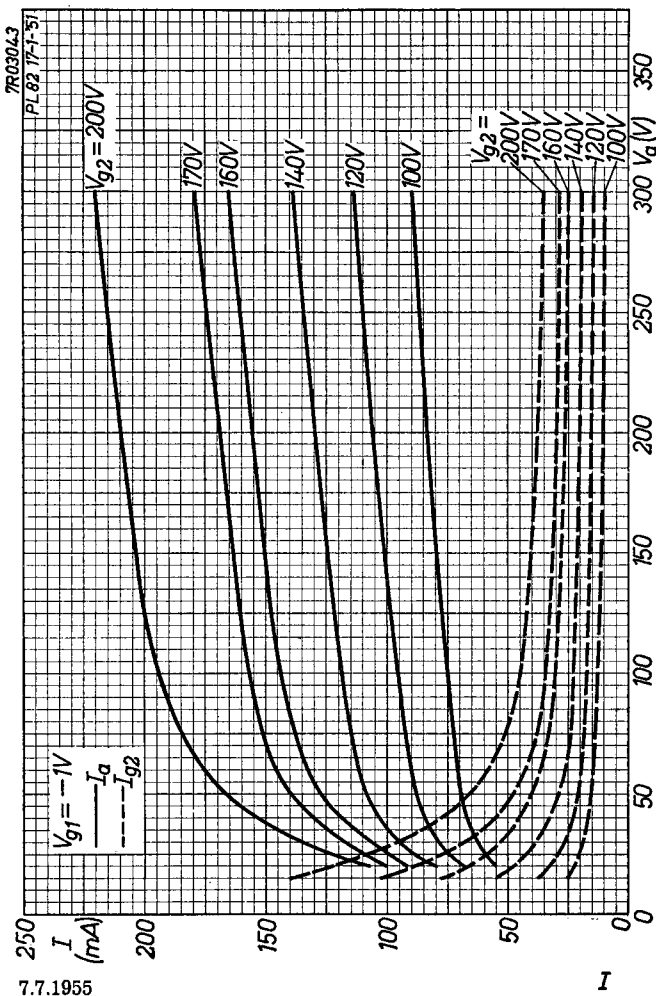
**EL 82**

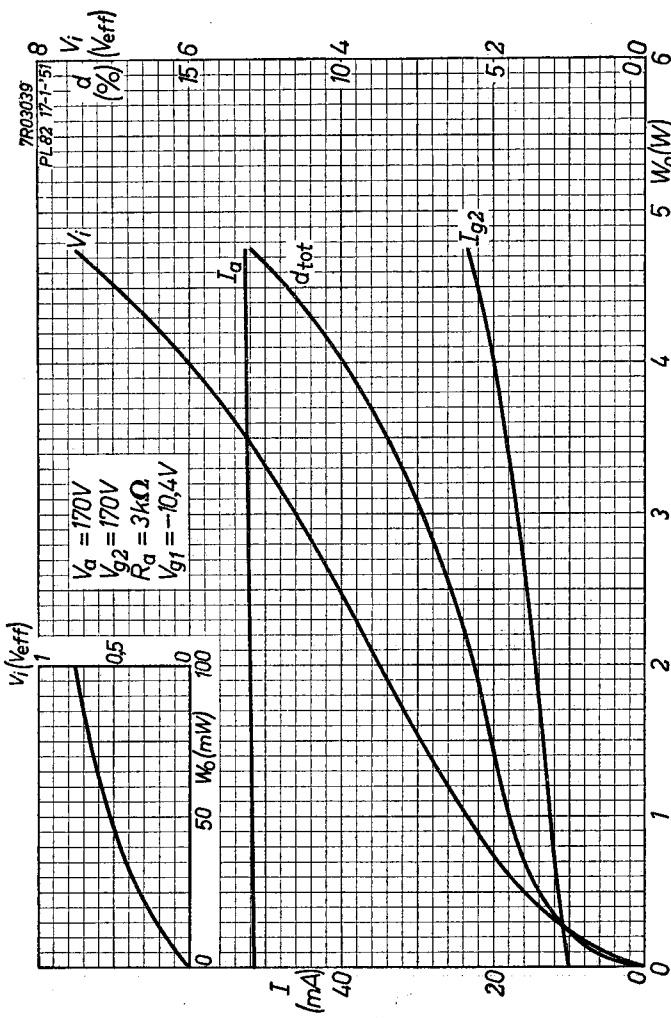
**PHILIPS**



# PHILIPS

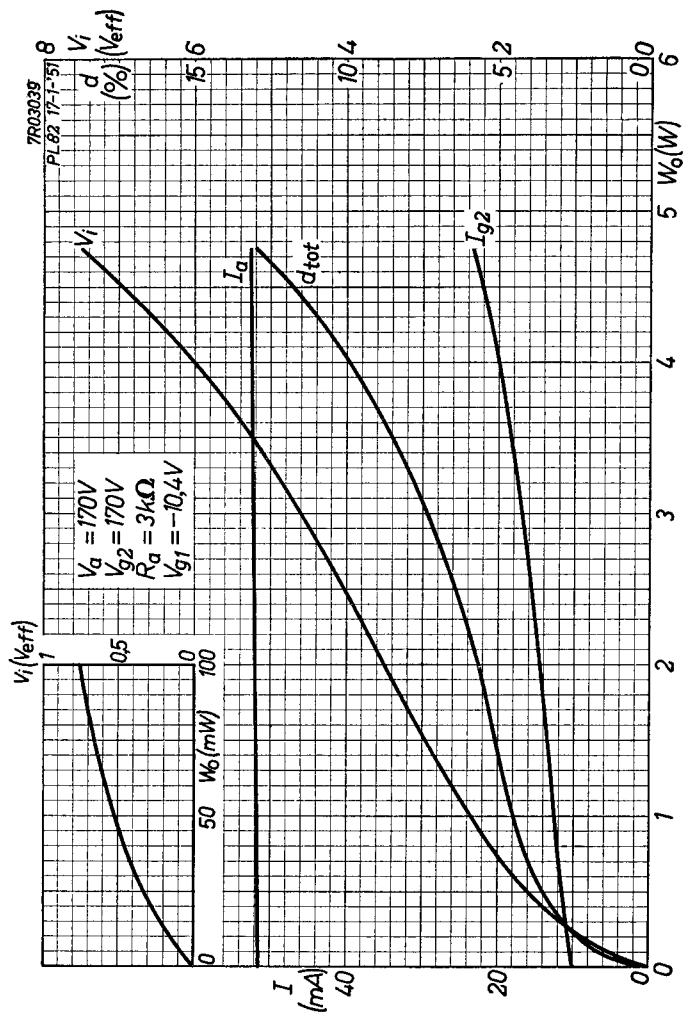
# EL 82





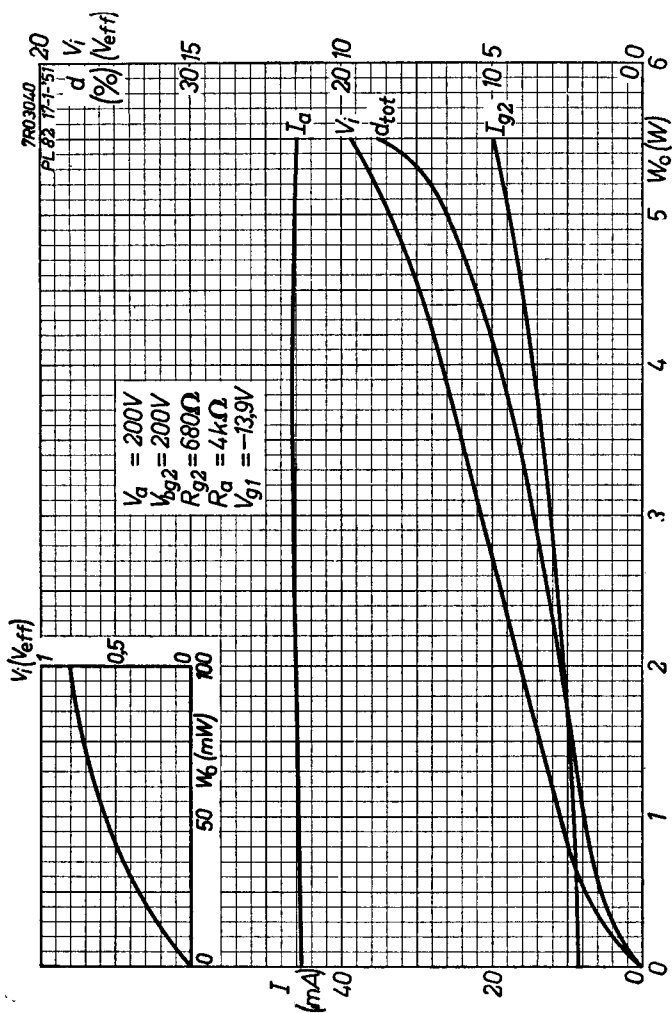
EL 82

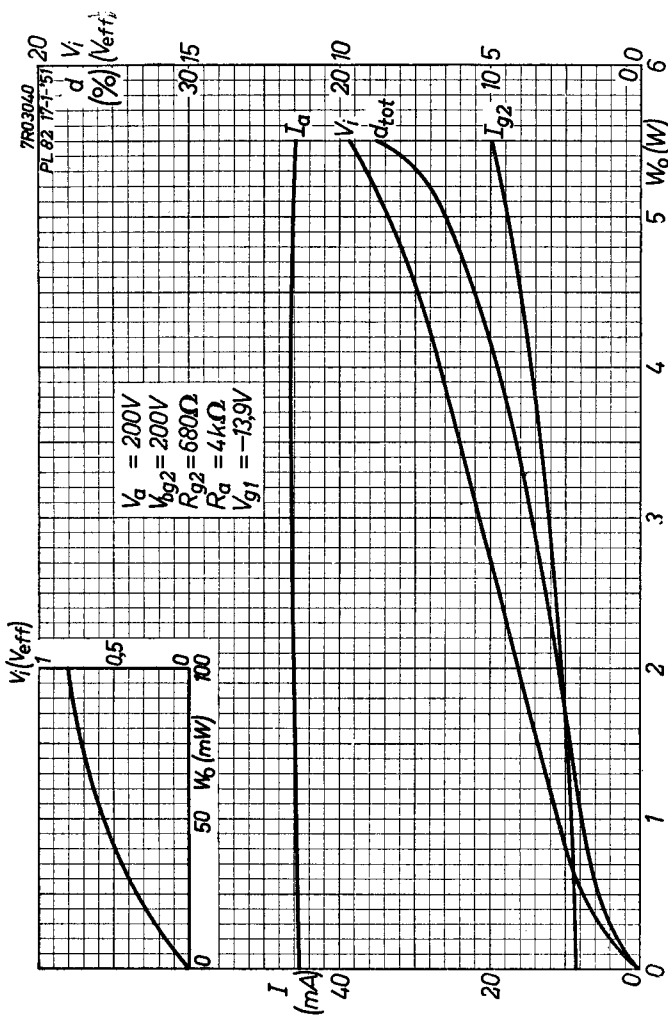
**PHILIPS**



**EL 82**

**PHILIPS**



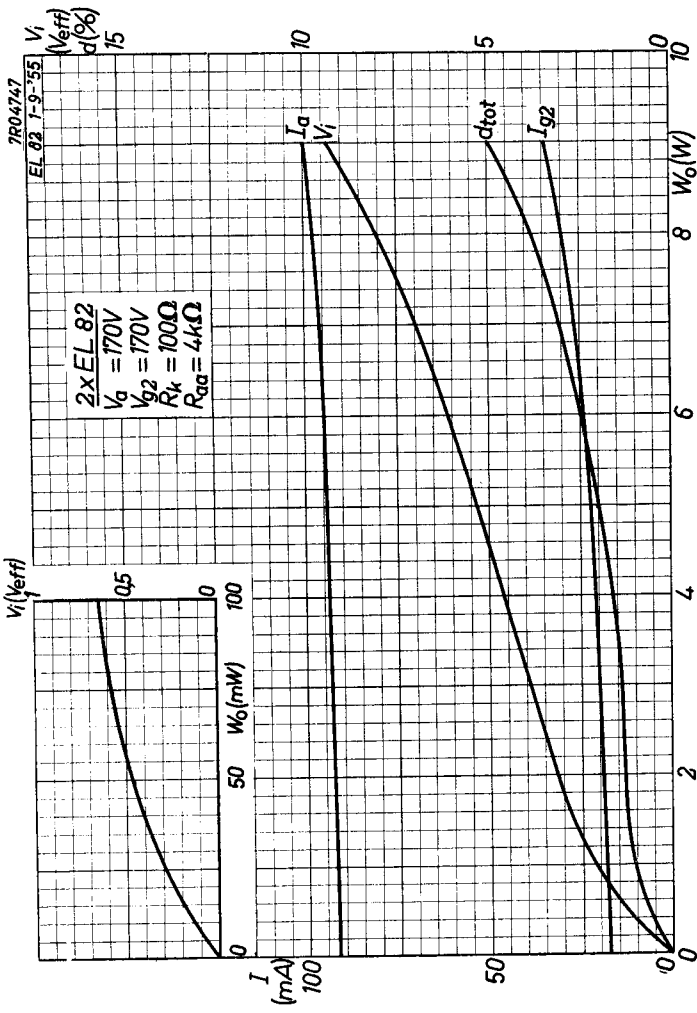


9.9.1955

K

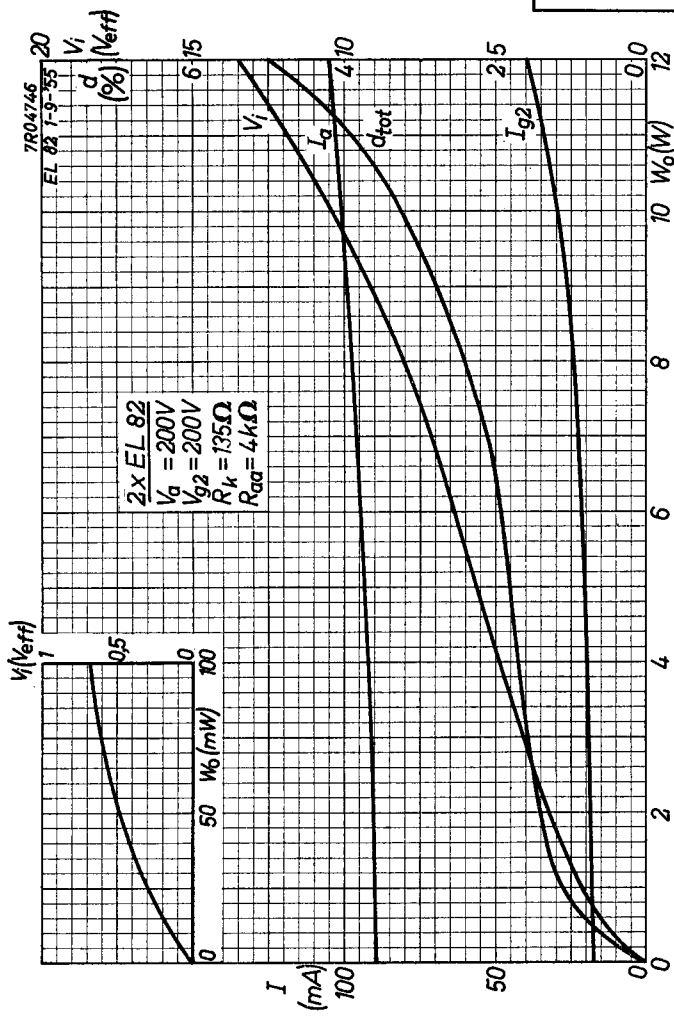
**EL 82**

**PHILIPS**



# PHILIPS

# EL 82



9.9.1955

M

**PHILIPS**

*Electronic*  
*Tube*

**HANDBOOK**

**EL82**

<b>page</b>	<b>sheet</b>	<b>date</b>
1	1	1956.04.04
2	1	1960.05.05
3	1	1962.05.05
4	2	1956.04.04
5	2	1960.05.05
6	2	1962.05.05
7	3	1956.04.04
8	3	1962.05.05
9	A	1955.07.07
10	B	1955.07.07
11	C	1957.10.10
12	D	1957.10.10
13	E	1955.07.07
14	E	1957.10.10
15	F	1955.07.07
16	F	1957.10.10
17	G	1955.07.07
18	G	1957.10.10
19	H	1955.07.07

20	H	1957.10.10
21	I	1955.07.07
22	I	1957.10.10
23	J	1955.07.07
24	J	1957.10.10
25	K	1955.09.09
26	L	1955.09.09
27	M	1955.09.09
28, 29	FP	2005.05.06